TABLE DES MATIÈRES DU TOME 97

Le tome 97 a paru en 2 fascicules



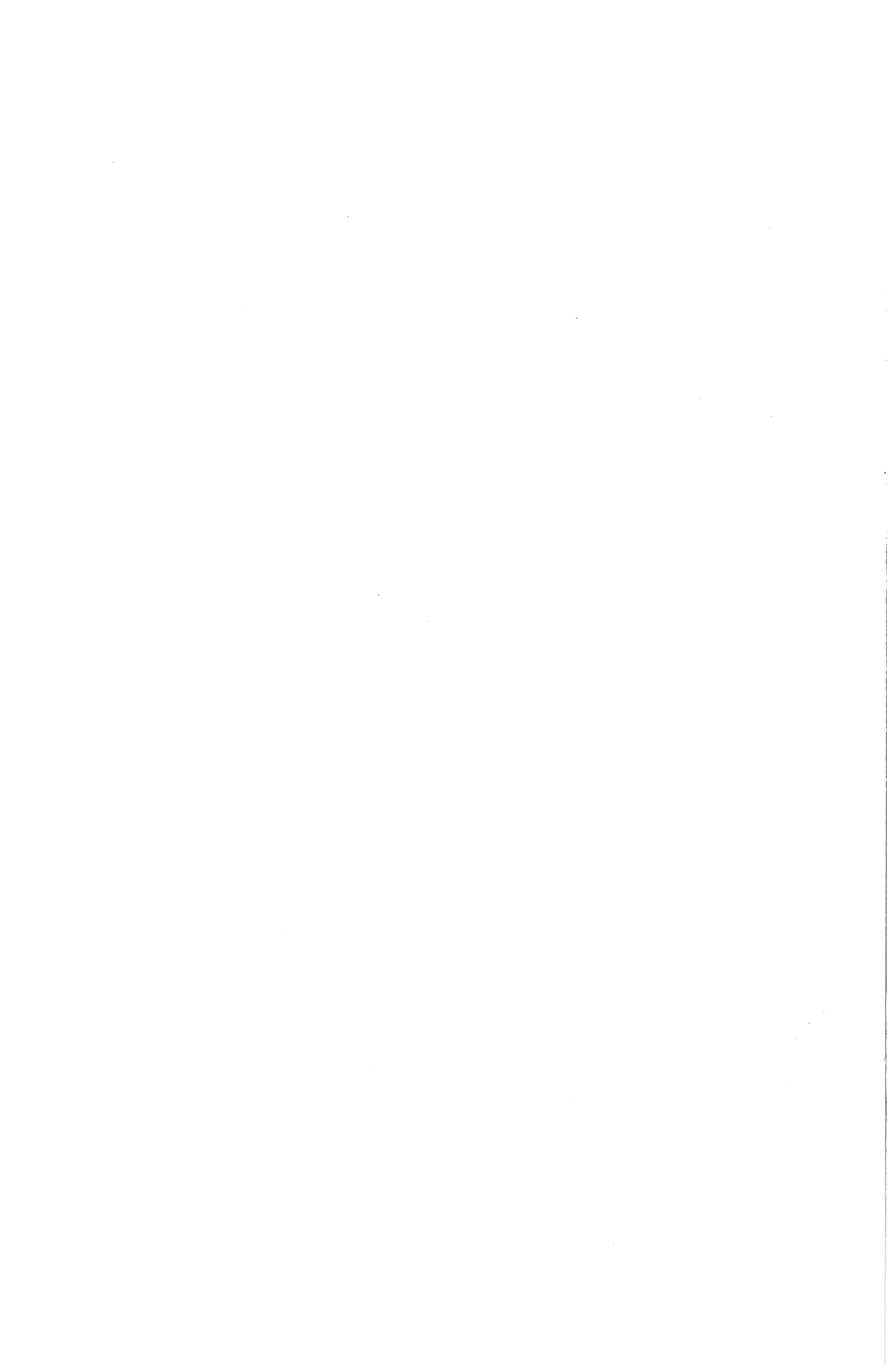
Index alphabétique des auteurs

Les chiffres entre parenthèses renvoient aux numéros d'ordre des auteurs.

	P	ages
1.	Ancion, Ch., La Célébration du Centenaire de la Société Géologique de Belgique	565 292
2.	Bastin, B., Juvigné, E., Pissart, A. & Thorez, J., Étude d'une coupe dégagée à travers un rempart d'une cicatrice de pingo de la Brackvenn	341
3.	BLACKBURN, W. H., Origin of the cordierite-bearing gneisses of the Gonanoque-Westport area, Ontario	297
4.	Bustamente-Santa Cruz, L., Contribution à l'étude des chloritoïdes belges .	273
5.	Bustamente-Santa Cruz, L., Pétrographie sédimentaire. Découverte d'une éruption du volcan d'Ormont	317
6.	BUSTAMENTE-SANTA CRUZ, L., Synthèse sommaire de l'évolution quaternaire de la Meuse	383 588
	Chapelier, A., Comptes rendus d'ouvrages	294
7.	Charlet, J. M., Répartition de la thermoluminescence artificielle (T L A) au sein d'un même grain de quartz dans quelques sédiments meubles récent ou ancien	221
8.	Coen, M., Le Frasnien de la bordure orientale du bassin de Dinant Coen, M., voir Coen-Aubert, M. & Coen, M. (9)	67
9.	COEN-AUBERT, M. & COEN, M., Le Givétien et le Frasnien dans la vallée de la Meuse, de Tailfer à Yvoir (bord nord du bassin de Dinant)	499
10.	CONIL, R. & LEES, A., Les transgressions viséennes dans l'ouest de l'Irlande	463
11.	CORDY, JM., Étude préliminaire de deux faunes à rongeurs du Tardiglaciaire belge	5 590
12.	Dupuis, Chr., Précisions et observations nouvelles sur le massif granitique de Ploumanac'h — Ile Grande (Côtes du Nord — France)	201
13.	EMSLIE, R. F., The Harp Lake complex, Labrador, and the Morin complex, Quebec: examples of igneous and meta-igneous anorthositic complexes in the eastern canadian shield.	525
	Fagnoul, A., Compte rendu d'ouvrage	294
14.	Fransolet, A. M., Jedwab, J. & Van Tassel, R., Inventaire minéralogique de Richelle, Belgique	23
15.	Fransolet, A. M., Jedwab, J. & Van Tassel, R., La fluellite de Richelle, près de Visé, Belgique	27
16.	Fransolet, A. M., Jedwab, J. & Van Tassel, R., La scholzite de Richelle, minéral nouveau pour la Belgique	321

		Pages
17.	Fransolet, A. M., Jedwab, J. & Van Tassel, R., La minyulite de Richelle, Belgique	331
18.	Franssen, L., Legrand, J. M., Michot, J. & Jourdain, J. P., Présentation d'un système de report normalisé des données géologiques. Description des programmes de stockage. Traitement et édition de ces données par ordinateur	485
19.	Garrison, R. E., Sedimentation and diagenesis of pelagic sediments: observations from the deep sea floor and in mountain ranges	163 296
20.	$\label{thm:continental} \begin{tabular}{ll} Godfriaux, I. \& Robaszynski, F., Le Montien continental et le Dano-Montien marin des sondages de Hainin (Hainaut, Belgique)$	185
21.	Gulinck, M., L'Albien-Cénomanien et le Wealdien dans la région de Thieu (sondages du canal du Centre)	311
22.	${\it Haesaerts},$ P., Séquence paléoclimatique du Pléistocène supérieur du bassin de la Haine (Belgique)	105
23.	Haesaerts, P. & Van Vliet, B., Compte rendu de l'excursion du 25 mai 1974 consacrée à la stratigraphie des limons aux environs de Mons	547
24.	Hubbard, J. A. E. B., Coral colonies as micro-environmental indicators . Jedwab, J., voir Fransolet, A. M., Jedwab, J. & Van Tassel, R. (14) (15) (16) (17)	143
	Jourdain, J. P., voir Franssen, L. et al (18)	
25.	Juvigné, E., La stratigraphie du Quaternaire en Belgique. État des connaissances	39
26.	Juvigné, E., Découverte de minéraux volcaniques à Kesselt (Limbourg) .	287
27.	Juvigné, E., Un perfectionnement de la méthode de séparation des minéraux denses des loess	289
28.	Karamata, S., Dynamo-thermal metamorphism related to emplacement of ultramafics on examples from the Dinarides Kupper, M., Compte rendu d'ouvrage	$\frac{541}{587}$
29.	LACROIX, D., Sur la stratigraphie du Mésodévonien et du Frasnien au bord sud du synclinorium de Namur	11
30.	Lacroix, D., Lithostratigraphie comparée du Givétien aux bords nord et sud du synclinorium de Namur	59
31.	${\bf Laurent,\ A.,\ Abaque\ simplifi\'e\ permettant\ de\ calculer\ les\ pourcentages\ de\ fractions\ fines\ dans\ les\ analyses\ granulométriques\ effectu\'ees\ au\ densimètre.}$	247
32.	Lees, A., Contrasts between Recent warm- and cold-water shelf carbonates: significance in the interpretations of ancient limestones	159
	Lepersonne, J., Compte rendu d'ouvrage	589
33.	Marchand, L., Framboïdes de pyrite $in \ situ$	561
34.	Marchant, T. R., Preliminary note on the micro-palaeontology of the Dinantian Dublin Basin, Ireland	447
35.	Monty, Cl., Aspects of reef and sedimentological studies	139
36.	MURRAY, J. W. & FIFFIN, D. L., Patterns of deformation, sedimentation and tectonism Southwestern Canadian continental margin	169
	Pissart, A., Compte rendu d'ouvrage	295
37.	PISSART, A., Les viviers des Hautes Fagnes sont des traces de buttes périglaciaires. Mais s'agissait-il réellement de pingos?	359

		Pages
	Robaszynski, F., voir Godfriaux, I. & Robaszynski, F. (20) Schroeder, Ch., Compte rendu d'ouvrage	587
38.	SCHROEDER, J. H., Carbonate cements in recent reefs of the Bermudas and Bahamas, keys to the past?	153
39.	SMITH, F. W. & HIRST, D. M., Analysis of trace elements and fluid inclusions in fluorite from the Ardennes massif	281
40.	Termier, H. & Termier, G., Distribution des faunes marines dans le sud de la Téthys et sur la bordure septentrionale du Gondwana au cours du Paléozoïque supérieur	387
41.	Tsien, H. S., Espèces du genre $Stringophyllum$ (Rugosa) dans le Dévonien moyen de la Belgique	257
	UBAGHS, G., Comptes rendus d'ouvrages	591
	VAN LECKWIJCK, W., Compte rendu d'ouvrage	292
42.	Verkaeren, J., Les amphiboles des skarns à magnétite de San Leone (Sardaigne S.W.) constituent des limites naturelles ferrifères dans les hornblendes et les trémolites	235
43.	Verkaeren, J., Sur une nouvelle occurence de la babingtonite Ca $\rm Fe^{++}$ $\rm Fe^{+++}$ $\rm Si_5O_{14}$ (OH) dans un skarn ferrugineux	243



Index alphabétique des matières

Les chiffres entre parenthèses renvoient aux numéros de l'index des auteurs.

Albien — Cénomanien : région de Thieu (2).

Amphiboles: Les amphiboles des skarns à magnétites (42).

Anorthosites: bouclier canadien (13).

Babingtonite: (43).

Bahamas: ciments carbonatés (38).

Bermudes: ciments carbonatés (38).

Brackvenn: cicatrice de pingo (2).

Canada: (3); (13); (36).

Carbonates: Recent warm- and cold- water shelf carbonates (32); ciments carbonatés dans les récifs récents (38).

Chloritoïdes: (4).

Coraux: Colonies indicatrices de micro-environnements (24); genre Stringophyllum (41).

Cordiérite: Origin of cordierite-bearing gneisses (3).

Dano-Montien: le Dano-Montien de Hainin (20).

Diagenèse: sédiments pélagiques (19).

Dinant : bassin de Dinant, Frasnien de la bordure orientale (8) et Givétien et Frasnien dans la vallée de la Meuse (9).

Dinantien: micropaléontologie du Dinantien du bassin de Dublin (34).

Dinarides: Dynamo-thermal métamorphisme (28).

Dublin: micropaléontologie du Dinantien (34).

Fluellite: la fiuellite de Richelle (15).

Fluorite: éléments en traces dans fluorite (39).

Framboïdes: framboïdes de pyrite (33).

France: (12).

Frasnien: Frasnien de la bordure orientale du bassin de Dinant (8); Frasnien de la vallée de la Meuse (9); bord sud du synclinorium de Namur (29).

Givétien: Le Givétien dans la vallée de la Meuse (9); bords sud et nord du synclinorium de Namur (30).

Gonanoque-Westport: (3).

Gondwana: faunes marines du Paléozoïque supérieur (40).

Granit: massif de Ploumanac'h (12).

Haine: Pleistocène supérieur du bassin de la Haine (22).

Hainin: Le Montien et le Dano-Montien de Hainin (20).

Harp Lake: (13).

Hornblendes: (42).

Ile Grande: granit de Ploumanac'h (12).

Irlande: transgressions viséennes (10); Dinantien du bassin de Dublin (34).

Kesselt: minéraux volcaniques (26).

Labrador: (13).

Loess: séparation minéraux denses des loess (27).

Métamorphisme: métamorphisme dynamo-thermal (28).

Méso-dévonien : bord sud du synclinorium de Namur (39).

Meuse : évolution quaternaire de la Meuse (6); Givétien et Frasnien dans vallée de la Meuse (9).

Minéraux denses : séparation des minéraux denses des loess (27).

Minéralogie: (4); (14); (15); (16); (17); (26); (27; (43).

Minyulite : la minyulite de Richelle (17).

Mons: limons des environs de Mons (23).

Montien: le Montien continental de Hainin (20).

Morin: (13).

Namur: synclinorium de Namur, Mésodévonien et Frasnien (29); Givétien (30).

Ontario: cordierite-bearing gneisses (3).

Ormont: volcan d'Ormont (5).

Paléoécologie: (24).

Paléogéographie : faunes marines dans le sud de la Téthys et sur le bord nord du Gondwana (40).

Paléontologie: (11); (34); (41).

Pétrologie: (3); (5); (12); (13); (28); (42).

Pingo: cicatrice de pingo de la Brackvenn (2); (37).

Pléistocène: séquence paléoclimatique du Pléistocène supérieur (22).

Pyrites: framboïdes de pyrites (33).

Quaternaire: (2); (6); (11); (22); (25); (37).

Quartz: thermoluminescence (7).

Récifs: (35); ciments carbonatés (38).

Richelle: Inventaire minéralogique (14); fluellite (15); scholzite (16); minyulite (17).

San Leone: skarns à magnétite (42).

Sardaigne: (42).

Scholzite: la scholzite de Richelle (16).

Sédimentation: sédimentation de sédiments pélagiques (19); (36).

Sédimentologie: (19); (31); (32); (33); (35).

Skarns: skarns à magnétite de Sardaigne (42); skarns ferrugineux avec babingtonite (43).

Stratigraphie: (8); (9); (10); (20); (21); (22); (23); (29); (30).

Stringophyllum: espèces du genre Stringophyllum (41).

Tailfer: (9).

Tardiglaciaire: (11).

Tectonisme : bord continental du S-W canadien (36).

Téthys : faunes marines du Paléozoïque supérieur (40).

Thermoluminescence: thermoluminescence artificielle dans grain de quartz (7).

Thieu : Albien-Cénomanien et Wealdien (21).

Traces: éléments en traces dans fluorite (39).

Trémolites: (42).

Viséen: transgressions viséennes dans l'ouest de l'Irlande (10).

Viviers: les viviers des Hautes Fagnes (37).

Wealdien: le Wealdien de la région de Thieu (21).

Yvoir: (9).